

О ПАРАКСИАЛЬНОМ ПРИБЛИЖЕНИИ ДЛЯ ПЛОТНОГО ЭЛЕКТРОННОГО ПУЧКА

В. Н. Данилов

(Москва)

Выводятся приближенные уравнения для узкого (параксиального) электронного пучка с пространственной осью, обобщающие известные [1] на случай существенного поля заряда пучка. Выделяется класс пучков, для которых задача сводится к обыкновенным дифференциальным уравнениям.

Известно параксиальное приближение для узкого пучка электронных траекторий в заданном поле с характерным размером неоднородности  $L_z \gg a_*$ , где  $a_*$  — характерная ширина пучка. В уравнения [1] можно включить и поле пространственного пучка, если плотность пучка  $\rho$  неоднородна на длинах  $L_z$ . Учет собственного поля пучка в [1] фактически не проводился. Здесь описывается попытка устранить этот пробел, что частично сделано для осесимметричного пучка с прямолинейной осью [2].

**1. Закон плоских сечений.** Будет удобна форма уравнений моноэнергетического пучка, в которой используются переменные Клебша  $\xi, \zeta, \chi$  для представления поля скорости электронов  $v_\alpha$

$$g^{\alpha\beta} v_\beta \xi_{,\alpha} = g^{\alpha\beta} v_\beta \zeta_{,\alpha} = (\rho g g^{\alpha\beta} v_\beta)_{,\alpha} = 0, \quad v_\alpha \equiv A_\alpha + \xi \zeta_{,\alpha} + \chi_{,\alpha} \quad (1.1)$$

Здесь  $q^\alpha$  — криволинейные координаты с метрическим тензором  $g^{\alpha\beta}$ , индекс после запятой означает производную по соответствующей координате, по дважды встречающимся индексам ведется суммирование от 1 до 3;  $A_\alpha$  — ковариантные компоненты потенциала магнитного поля  $H_\alpha$ . Остальные уравнения стационарного нерелятивистского пучка имеют вид

$$g^{\alpha\beta} v_\alpha v_\beta = 2\varphi, \quad (g g^{\alpha\beta} \varphi_{,\alpha})_{,\beta} = \rho, \quad g^{-2} \equiv \det |g^{\alpha\beta}| \quad (1.2)$$

Здесь  $\varphi$  — потенциал электрического поля, физические константы ( $e > 0$  — заряд,  $m$  — масса электрона,  $c$  — скорость света) опущены, что соответствует замене обозначений

$$e (mc)^{-1} A_\alpha \rightarrow A_\alpha, \quad e (mc)^{-1} H_\alpha \rightarrow H_\alpha, \quad (e/m)\varphi \rightarrow \varphi, \quad 4\pi (e/m)\rho \rightarrow \rho$$

Пусть  $l \equiv q^1$  продольная и  $s \equiv q^2, q \equiv q^3$  — поперечные координаты относительно осевой линии  $\mathbf{R}(l)$  узкого пучка связаны с декартовыми:  $\mathbf{r} = \mathbf{R} + ss + qq, \quad \mathbf{s} \equiv \mathbf{l}'/k, \quad \mathbf{l} \equiv \mathbf{R}', \quad \mathbf{q} \equiv \mathbf{l} \times \mathbf{s}, \quad \mathbf{R}' \equiv d\mathbf{R}/dl \quad (1.3)$

Здесь  $l$  — длина дуги оси, а орты  $\mathbf{l}, \mathbf{s}, \mathbf{q}$  образуют сопровождающий трехгранник (фиг. 1). Используя формулы Френе [3]

$$\mathbf{s}' = -k\mathbf{l} + \kappa\mathbf{q}, \quad \mathbf{q}' = -\kappa\mathbf{s}, \quad k \equiv |\mathbf{l}'|, \quad \kappa k^2 \equiv (\mathbf{l} \times \mathbf{l}') \cdot \mathbf{l}'' \quad (1.4)$$

Здесь  $k$  — кривизна,  $\kappa$  — кручение оси, нетрудно получить

$$d\mathbf{r}^2 = \sigma^2 dl^2 + ds^2 + dq^2 - 2\kappa q dl ds + 2\kappa s dl dq \quad (1.5)$$

$$g_{\alpha\beta} = \begin{vmatrix} \sigma^2 & -\kappa q & \kappa s \\ -\kappa q & 1 & 0 \\ \kappa s & 0 & 1 \end{vmatrix}, \quad g^{\alpha\beta} = \frac{1}{g^2} \begin{vmatrix} 1 & \kappa q & -\kappa s \\ \kappa q & \sigma^2 - \kappa^2 s^2 & -\kappa^2 s q \\ -\kappa s & -\kappa^2 s q & \sigma^2 - \kappa^2 q^2 \end{vmatrix} \quad (1.6)$$

В соотношениях (1.6)

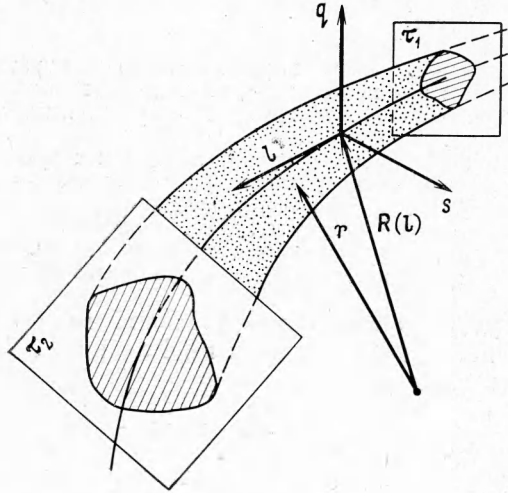
$$g^2 \equiv \det |g_{\alpha\beta}| = (1 - ks)^2, \quad \sigma^2 \equiv (1 - ks)^2 + \kappa^2 (s^2 + q^2)$$

Далее нужно условиться, что в (1.1), (1.2), (1.6) расставлен указатель малости  $\varepsilon$  в тех местах, где малый параметр  $\varepsilon_*$  появляется в результате перехода к безразмерным величинам

$$s/a_*, q/a_*, l/L_*, \kappa L_*, kL_*, \varepsilon_* \equiv a_*/L_*$$

т. е. перед  $k$ ,  $\kappa$  и производными по  $l$ . Тем самым будет выделен случай узкого пучка вблизи относительно гладкой оси. Так, например, уравнения для  $A_\alpha$  в нерелятивистском пучке выписываются в виде (1.7)

$$\begin{aligned} A_{q,s} - A_{s,q} &= gH^l \\ A_{l,q} - \varepsilon A_{q,l} &= gH^s \\ \varepsilon A_{s,l} - A_{l,s} &= gH^q \\ H_{q,s} &= H_{s,q}, \quad H_{l,q} = \varepsilon H_{q,l}, \\ H_{l,s} &= \varepsilon H_{s,l}, \quad H_\alpha \equiv g_{\alpha\beta} H^\beta \end{aligned} \quad (1.7)$$



Фиг. 1

Отсюда следует параксиальное приближение для  $A_\alpha$

$$\begin{aligned} A_l &= \Omega_s q - \Omega_q s + \varepsilon^{1/2} (k\Omega_q + 2\kappa\Omega_l) s^2 \\ A_s &= -1/2 \Omega_l q, \quad A_q = 1/2 \Omega_l s \end{aligned} \quad (1.8)$$

Здесь  $\Omega_l$ ,  $\Omega_s$ ,  $\Omega_q$  есть значения  $H_l$ ,  $H_s$ ,  $H_q$  на оси. Продольную скорость  $v_l$  в сравнении с поперечными  $v_s$ ,  $v_q$  и потенциал  $\Phi$  в сравнении с  $v_s^2$ ,  $v_q^2$  в параксиальном пучке нужно представить в виде

$$v_l = \varepsilon^{-1} v(l) + A_l + \varepsilon P_l, \quad \Phi = \varepsilon^{-2} U + \varepsilon^{-1} (E_s s + E_q q) + \Phi^* \quad (1.9)$$

Учитывая сказанное, из (1.1), (1.2), (1.6), (1.8), (1.9) нетрудно получить

$$2U = v^2, \quad E_s = kv^2 - v\Omega_q, \quad E_q = v\Omega_s \quad (1.10)$$

$$\xi_{,\tau} + u_s \xi_{,s} + u_q \xi_{,q} = \zeta_{,\tau} + u_s \zeta_{,s} + u_q \zeta_{,q} = 0, \quad \xi_{,\tau} \equiv (\partial \xi / \partial l) v$$

$$(\rho v)_{,\tau} + (u_s \rho v)_{,s} + (u_q \rho v)_{,q} = 0, \quad u_{s(q)} \equiv B_{s(q)} + \xi \zeta_{,s(q)} + \chi_{,s(q)} \quad (1.11)$$

$$u_s^2 + u_q^2 + 2(\xi \zeta_{,\tau} + \chi_{,\tau}) = 2\psi, \quad \psi_{,ss} + \psi_{,qq} = \rho - n, \quad dl \equiv v dt$$

$$\begin{aligned} B_s &\equiv -1/2 \Omega_l q, \quad B_q \equiv 1/2 \Omega_l s, \quad \Omega \equiv \Omega_l - 2\kappa v, \quad 2\Phi \equiv 2\psi + v^2 (3k^2 s^2 - \\ &- \kappa^2 s^2 - \kappa^2 q^2) + (\Omega_s q - \Omega_q s)^2 + vs (4k \Omega_s q - 3\Omega_q k s + 2\Omega_l \kappa s) \\ n &\equiv 2(k^2 - \kappa^2) v^2 + \Omega_s^2 + \Omega_q^2 + 2v(\kappa \Omega_l - k \Omega_q) + U'' \end{aligned} \quad (1.12)$$

Здесь (1.10) соответствуют нулевому и первому приближению по  $\varepsilon$ , а (1.11) — второму. Если принять, что  $U$  — потенциал, а  $E_s$ ,  $E_q$  — напряженности поля на оси, то (1.10) будут точными уравнениями для траектории электрона в поле пучка. Более прозрачно смысл уравнений (1.11) проявляется в переменных Лагранжа  $\tau$ ,  $\xi$ ,  $\eta$ , где  $\xi$ ,  $\eta$  — координаты

электрона в начальном сечении  $\tau = 0$

$$s_{,\tau\tau} = e_s - \Omega q_{,\tau}, \quad q_{,\tau\tau} = e_q + \Omega s_{,\tau}, \quad \Omega \equiv \Omega_l - 2\kappa v \quad (1.13)$$

$$v\rho = j(\xi, \eta) |s_{,\xi} q_{,\eta} - s_{,\eta} q_{,\xi}|^{-1}, \quad s = s(\tau, \xi, \eta), \quad q = q(\tau, \xi, \eta) \quad (1.14)$$

$$e_{s,s} + e_{q,q} = \rho - n, \quad e_{q,s} - e_{s,q} = \dot{\Omega}, \quad \dot{\Omega} \equiv d\Omega / d\tau \quad (1.15)$$

Здесь  $j$  — плотность тока в начальном сечении, точка означает производную по  $\tau$ , а штрих — производную по  $l$ . Эти уравнения эквивалентны уравнениям нестационарного плоского  $(s, q)$  электронного облака на фоне «магнитного поля»  $\Omega$  с одним отличием: уравнению неразрывности удовлетворяет плотность, умноженная на функцию времени ( $\rho v$  — продольная компонента плотности тока пучка). Таким образом, получается обобщение известного закона плоских сечений [4] на случай криволинейного движения с переменной осевой скоростью. Как и должно быть, «нестационарность» магнитного поля приводит к появлению вихря  $\dot{\Omega}$  в напряженности электрического поля  $e_s, e_q$ .

Следует отметить, что к уравнениям (1.11) приводятся: 1) уравнения немоноэнергетического пучка с энергией электронов  $\mathcal{E}(\xi)$ , 2) уравнения нестационарного ( $t$ ) пучка, если принять, что параметры пучка в (1.11) допускают произвольную зависимость от  $t - \tau$ , т. е. нестационарные возмущения в узком пучке распространяются в виде волн, бегущих вдоль пучка со скоростью  $v$ .

Исходные уравнения для релятивистского пучка отличаются только видом (1.2)

$$g^{\alpha\beta} v_{,\alpha} v_{,\beta} = 2\Phi + (\Phi/c)^2, \quad (gg^{\alpha\beta} \Phi_{,\alpha})_{,\beta} = \rho(1 + \Phi c^{-2}) \quad (1.16)$$

если считать  $v_{,\alpha}/c$  4-скоростью, а  $\rho$  — скалярной плотностью заряда. Пусть  $v_l$  порядка  $c$ , тогда представляя  $v_l$  и  $\Phi$  в виде (1.9) с точностью до  $\epsilon^2$ , нетрудно получить те же уравнения (1.11) и

$$2U + (U/c)^2 = v^2, \quad \gamma E_s = kv^2 - v\Omega_q, \quad \gamma E_q = v\Omega_s, \quad \gamma \equiv 1 + U c^{-2} \quad (1.17)$$

Отличие состоит в выражениях для  $A_l, \Phi$  и  $n$

$$2\gamma\Phi \equiv 2\Phi + 2vA - (E_s s + E_q q)^2 c^{-2} + v^2(3k^2 s^2 - \kappa^2 s^2 - \kappa^2 q^2) + (\Omega_{sq} - \Omega_q s)^2 + \\ + vs(4k\Omega_{sq} - 3ks\Omega_q + 2\kappa\Omega_l s), \quad A_{,ss} + A_{,qq} = \rho v c^{-2} \quad (1.18)$$

$$n \equiv 2(k^2 - \kappa^2)v^2 + 2(\kappa\Omega_l - k\Omega_q)v + \gamma U'' + \Omega_s^2 + \Omega_q^2 - (E_s^2 + E_q^2)c^{-2}$$

Здесь  $\epsilon A$  есть добавка к  $A_l$  в (1.8), учитывающая собственное (пинчующее) магнитное поле пучка. Таким образом, закон плоских сечений в виде (1.13)—(1.15) справедлив и для слабо-релятивистского пучка.

**2. Вырожденные решения.** Примем в рамках обратной задачи, как это сделано в [5] для случая  $v = \text{const}$  и прямолинейной оси, однородную деформацию пучка в плоском сечении

$$s = \alpha\xi + \beta\eta, \quad q = \mu\xi + \nu\eta, \quad D(\tau) \equiv \alpha\nu - \beta\mu \quad (2.1)$$

В этом случае ось строго совпадает с траекторией электрона. Подстановка (2.1) в (1.13) — (1.15) дает

$$De_s = [\ddot{\alpha}\nu - \dot{\beta}\mu + \Omega(\dot{\mu}\nu - \dot{\nu}\mu)]s + [\dot{\beta}\alpha - \dot{\alpha}\beta + \Omega(\dot{\nu}\alpha - \dot{\mu}\beta)]q$$

$$De_q = [\dot{\mu}\nu - \dot{\nu}\mu + \Omega(\dot{\beta}\mu - \dot{\alpha}\nu)]s + [\dot{\nu}\alpha - \dot{\mu}\beta + \Omega(\dot{\alpha}\beta - \dot{\beta}\alpha)]q \quad (2.2)$$

$$\dot{\mu}\nu - \dot{\nu}\mu + \dot{\alpha}\beta - \dot{\beta}\alpha = \Omega D - \omega_*, \quad \omega_* = \text{const} \quad (2.3)$$

$$\ddot{D} - 2(\dot{\alpha}\dot{\nu} - \dot{\beta}\dot{\mu}) + (n + \Omega^2)D - \Omega\omega_* = j_*/v, \quad \rho = j_*(vD)^{-1} \quad (2.4)$$

Такой же результат получается, если искать решение исходных уравнений в виде рядов Тейлора по степеням  $s, q$ . Поэтому (2.1) — (2.4) описывают узкую трубку траекторий, вырезанную из широкого пучка с размером неоднородности  $L_*$ . Уравнения (2.3), (2.4) оставляют произвольными пять функций  $\tau$  из семи:  $\alpha, \beta, \mu, \nu, v, k, \kappa$ , предоставляя достаточно гибкую основу для формирования узких пучков с нужными параметрами. Для пяти простейших типов двухпараметрической деформации с матрицами

$$M_1 = \begin{vmatrix} D & 0 \\ \mu & 1 \end{vmatrix}, \quad M_2 = \begin{vmatrix} D & \beta \\ 0 & 1 \end{vmatrix}, \quad M_3 = \begin{vmatrix} \delta \cos \theta & -\delta \sin \theta \\ \delta \sin \theta & \delta \cos \theta \end{vmatrix}$$

$$M_4 = \begin{vmatrix} D \cos \theta & -\sin \theta \\ D \sin \theta & \cos \theta \end{vmatrix}, \quad M_5 = \begin{vmatrix} D \cos \theta & -D \sin \theta \\ \sin \theta & \cos \theta \end{vmatrix}, \quad M \equiv \begin{vmatrix} \alpha & \beta \\ \mu & \nu \end{vmatrix} \quad (2.5)$$

уравнения (2.3), (2.4) принимают соответственно вид

$$\dot{\mu} = \Omega D - \omega_*(M_1), \quad D\beta - \beta D = \Omega D - \omega_*, \quad (M_2) \quad (2.6)$$

$$\ddot{D} + (n + \Omega^2) D = \Omega \omega_* + j_* / v, \quad (M_1, M_2) \quad (2.7)$$

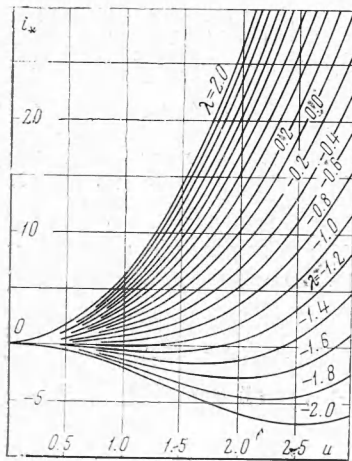
$$2\dot{\theta} = \Omega - \omega_* / D, \quad (M_3, M_4), \quad \dot{\theta} (1 + D^2) = D\Omega - \omega_*, \quad (M_5) \quad (2.8)$$

$$2\ddot{\delta} + \frac{1}{2}\Omega^2\delta - \frac{1}{2}\omega_*^2\delta^{-3} + n\delta = j_* / \delta v, \quad (M_3) \quad (2.9)$$

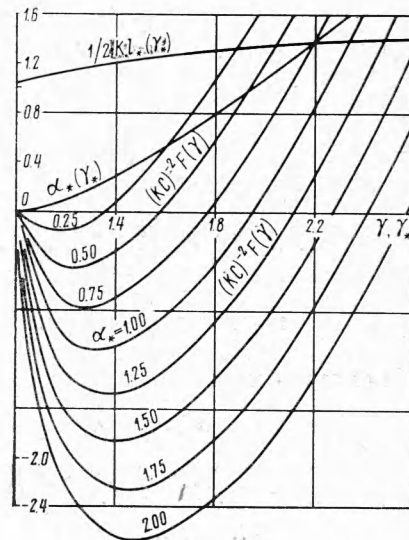
$$\ddot{D} + \frac{1}{2}\Omega^2 D - \frac{1}{2}\omega_*^2 / D + nD = j_* / v, \quad (M_4) \quad (2.10)$$

$$\ddot{D} - 2D (1 + D^2)^{-2} (D\Omega - \omega_*)^2 + (n + \Omega^2) D = \Omega \omega_* + j_* / v, \quad (M_5) \quad (2.11)$$

Уравнения (2.7) и (2.9) отличаются от уравнений плоскосимметричного и осесимметричного пучка [2] определением функций  $\Omega, n$ , что позволяет описывать пучки с криволинейной осью с релятивистскими скоростями и с весьма произвольной формой в сечении.



Фиг. 2



Фиг. 3

Ниже рассматривается несколько решений (2.6) — (2.11) для пучка с винтовой осью в винтовом магнитном поле на круглом цилиндре, так что  $k, \kappa, \Omega_l, \Omega_s, \Omega_q$  принимаются постоянными.

2.1 Для пучка постоянного сечения ( $D = 1$  в  $M_3$ ) из (2.9) и (1.12), (1.18) следуют уравнения в нерелятивистском и релятивистском случаях соответственно, определяющие скорость  $v(l)$

$$1/2 \dot{v} = C_* - F, \quad 2F \equiv \bar{\Omega}_*^2 v^2 + k^2 v^4 - 4/3 k \Omega_q v^3 - 2j_* v \quad (2.12)$$

$$c^2 (\gamma')^2 = C_* - F \equiv C_* + (j_* / c) 2 \arctg v / c - (k v^2 / c \gamma)^2 - \\ - (\Omega_l^2 - \omega_*^2) \ln \gamma + (\Omega_s^2 + \Omega_q^2) \gamma^{-2} + 2 \Omega_q k (c \arctg v / c - v \gamma^{-2}) \\ \Omega_*^2 \equiv 1/2 (\Omega_l^2 - \omega_*^2) + \Omega_s^2 + \Omega_q^2, \quad c (\gamma^2 - 1)^{1/2} \equiv v \quad (2.13)$$

Как видно из (2.14), скорость ограничена значением, определяемым уравнением  $F = C_*$ . В случае  $C_* = 0$  получается периодическое решение с амплитудой  $v_*$  (фиг. 2)

$$v_* \equiv (\Omega_* / k) u, \quad u^3 + u + 2 \lambda u^2 = i_*, \quad i_* \equiv 2j_* k \Omega^{-3}, \quad \lambda \equiv -2/3 \Omega_q / \Omega_*$$

В частности, периодическое решение

$$v = (2j_* k^{-2})^{1/2} (\sin^3 / 2 kl)^{2/3}, \quad \Omega_s = \Omega_q = 0, \quad \Omega_l = \omega_* \quad (2.14)$$

удовлетворяет условиям на катоде в плоскости  $l = 0$ . Зависимость скорости от длины дуги (2.14) такая же, как в точном решении для электростатического течения по кругу [6]. Однако приближенное решение (2.14) применимо и для течения вдоль винтовой силовой линии магнитного поля. Решение для релятивистского пучка в условиях (2.14) имеет период  $l_*$  и амплитуду  $\gamma_*$  (фиг. 3)

$$\frac{1}{2} kl_* = \int_1^{\gamma_*} \frac{d\gamma}{\sqrt{\alpha_* 2 \arctg v / c - v^4 c^{-4} \gamma^{-2}}}, \quad \alpha_* \equiv \frac{j_*}{k^2 c^3} \\ (\gamma_* - 1 / \gamma_*)^2 = \alpha_* \{4 \arctg [\gamma_* + (\gamma_*^2 - 1)^{1/2}] - \pi\} \quad (2.15)$$

Для пучка постоянной ширины вдоль  $s$  ( $D = 1$  в  $M_1$ ) из (2.7), (1.12) следует уравнение для  $v$ :

$$1/2 (v')^2 = C_* + j_* v - (\Omega_l^2 + \bar{\Omega}_s^2 + \Omega_q^2 - \Omega_l \omega_*)^{1/2} v^2 + 2/3 v^3 (\kappa \Omega_l + \\ + k \Omega_q - \kappa \omega_*) - 1/2 (k^2 + \kappa^2) v^4 \quad (2.16)$$

которое имеет тот же вид, что и (2.12), но содержит зависимость от кручения оси. Аналогичный результат получается и в релятивистском случае.

2.2 Для пучка с постоянной скоростью из (2.7), (2.9)–(2.11) получаются, вообще говоря, периодические решения

$$D = (\Omega \omega_* + j_* / v) \omega_1^{-2} + A_* \sin \omega_1 \tau + B_* \cos \omega_1 \tau, \quad \omega_1^2 \equiv n + \Omega^2, \quad M_1, M_2 \\ \delta^2 + 1/2 (n + 1/2 \Omega^2) \delta^2 + 1/4 \omega_*^2 \delta^{-2} = C_* + j_* / v \ln \delta, \quad M_3 \quad (2.17)$$

$$D^2 = C_* + [2j_* / v D + \omega_*^2 \ln D - (n + 1/2 \Omega^2) D^2], \quad M_4 \quad (2.18)$$

$$D^2 = C_* + 2 (\Omega \omega_* + j_* / v) D - (n + \Omega^2) D^2 + 2 (\Omega^2 - \omega_*^2 + \\ + 2 \Omega \omega_* D) (1 + D^2)^{-1} + 2 \Omega^2 \ln (1 + D^2) - 4 \Omega \omega_* \arctg D, \quad M_5 \quad (2.19)$$

Уравнение (2.17) совпадает по форме с уравнением для пульсаций границы осесимметричного пучка с прямолинейной осью в однородном магнитном поле [7].

Параметры периодических решений (2.17) вычислены в [7]. Структура уравнений (2.18), (2.19) в качественном отношении аналогична (2.17).

2.3 Периодические решения можно построить также для пучка с постоянной плотностью  $\rho_*$

$$v = v_* / D, \quad \rho_* \equiv j_* / v_*, \quad D = b^2 + (b^4 - a^2)^{1/2} \sin \omega \tau \quad (2.20)$$

Решение (2.20) получается для нерелятивистского пучка из (1.12), (2.7), (2.9), (2.10), если при деформациях  $M_1, M_2, M_3, M_4$  соответственно положить

$$\kappa v_* \omega_* + (k^2 + \kappa^2) v_*^2 = a^2 \omega^2, \quad 1/2 \Omega_l \omega_* + v_* (\kappa \Omega_l + k \Omega_q) = 2b^2 \omega^2, \\ \Omega_l^2 + \Omega_s^2 + \Omega_q^2 - \rho_* = \omega^2, \quad M_1, M_2, \quad (2.21)$$

$$k^2 v_*^2 - 1/4 \omega_*^2 = a^2 \omega^2, \quad v_* k \Omega_q = 2b^2 \omega^2, \quad 1/2 \Omega_l^2 + \Omega_s^2 + \Omega_q^2 - \rho_* = \omega^2, \quad M_4$$

В случае  $M_3$  коэффициенты отличаются от коэффициентов  $M_4$  множителем  $4/3$  в левых частях. В случае  $M_5$  из (1.12), (2.11) получается уравнение

$$D^2 = -\omega^2 (a^2 - 2b^2 D + D^2) + 2D^2 (1 + D^2)^{-2} (D\Omega_{l1} - \omega_* - 2\kappa v_*)^2$$

которое также описывает периодическое изменение  $D$ . Здесь  $\omega$ ,  $a$ ,  $b$  согласно (2.21).

2.4 Решения п. 2.1 можно использовать для построения электронной пушки с криволинейным пучком, а решения п. п. 2.2, 2.3 для построения канала, фокусирующего протяженный периодический пучок, если определить потенциал  $\varphi$  вне пучка, где  $\varphi$  удовлетворяет уравнению Лапласа

$$\varepsilon^2 [r^2 / g (\varphi_{,l} - \kappa \varphi_{,\theta}), l + (g\varphi_{,r})_{,r} + [1/g (\sigma^2 \varphi_{,\theta} - \varepsilon^2 \kappa r^2 \varphi_{,l})_{,\theta}]_{,\theta} = 0 \quad (2.22)$$

$$s \equiv r \cos \theta, \quad q \equiv r \sin \theta \quad g \equiv r (1 - \varepsilon \kappa r \cos \theta), \quad \sigma^2 \equiv g^2 r^{-2} + \varepsilon^2 \kappa^2 r^2$$

Здесь  $l$ ,  $r$ ,  $\theta$  — квазицилиндрические координаты.

Представляя потенциал вне пучка в виде (1.9), (1.12)

$$\varphi = \varepsilon^{-2} U + \varepsilon^{-1} r (E_s \cos \theta + E_q \sin \theta) + r^2 (F_0 + F_c \cos 2\theta + F_s \sin 2\theta) + \psi$$

$$F_0 \equiv 1/4 (3k^2 v^2 + \Omega_q^2 + \Omega_s^2 - 3\Omega_0 \kappa v + 2\Omega_l' v - 2\kappa^2 v^2)$$

$$F_c \equiv 1/4 (3k^2 v^2 + \Omega_q^2 - \Omega_s^2 - 3\Omega_q \kappa v + 2\Omega_l' v), \quad F_s \equiv k\Omega_s v - 1/2 \Omega_s \Omega_q \quad (2.23)$$

нетрудно получить из (2.22) приближенное уравнение

$$(r\psi_{,r})_{,r} + r^{-1} \psi_{,\theta\theta} = \varepsilon k [(\cos \theta \psi_{,\theta})_{,\theta} + \cos \theta (r^2 \psi_{,r})_{,r}] -$$

$$- \varepsilon^2 r [\psi_{,ll} - (\kappa \psi_{,\theta})_{,l} - \kappa \psi_{,ll} + \kappa^2 \psi_{,\theta\theta}] - nr - \varepsilon r^2 (n_1 \cos \theta +$$

$$+ n_2 \sin \theta) - \varepsilon^2 r^3 (n_3 \cos 2\theta + n_4 \sin 2\theta + n_5) \quad (2.24)$$

$$n_1 \equiv (kU')' + E_s'' - (\kappa E_q)' - \kappa^2 E_s - \kappa E_q' - k(6F_0 + 2F_c)$$

$$n_2 \equiv k\kappa U' + E_q'' + (\kappa E_s)' - \kappa^2 E_q + \kappa E_s' - 2kF_s$$

$$n_3 \equiv 1/2 (k^2 U')' + 1/2 (kE_s')' - 1/2 (\kappa k E_q)' - k\kappa^2 E_s -$$

$$- \kappa k E_q' + F_c'' - 2(\kappa F_s)' - 2\kappa F_s' - 4\kappa^2 F_c$$

$$n_4 \equiv \kappa k^2 U' + 1/2 (kE_q')' + 1/2 (k\kappa E_s)' - k\kappa^2 E_q + k\kappa E_s' +$$

$$+ F_s'' + 2(\kappa F_c)' + 2\kappa F_c' - 4\kappa^2 F_s$$

$$n_5 \equiv 1/2 (k^2 U')' + 1/2 (kE_s')' - 1/2 (\kappa k E_q)' + F_0''$$

где опущены члены порядка  $\varepsilon^3$ . Решение уравнения (2.24), удовлетворяющее граничным условиям на поверхности  $r = f$  круглого пучка с деформацией  $M_3$ , имеет вид

$$\psi = W + B \ln r - 1/4 n r^2 - \varepsilon^{1/4} \{ 1/2 (r^3 - 2f^2 r + f^4 / r) (n_0 \cos \theta +$$

$$+ n_2 \sin \theta) - (2r \ln r / f - r + f^2 / r) k B \cos \theta \} -$$

$$- \varepsilon^2 1/4 \{ 1/4 (r^4 - f^4 - 4f^4 \ln r / f) (n_5 + 1/4 n'' + 9/8 k^2 n +$$

$$+ 3/4 k n_1) - (r^2 - f^2 - 2f^2 \ln r / f) (W'' - 1/2 k^2 B \ln f -$$

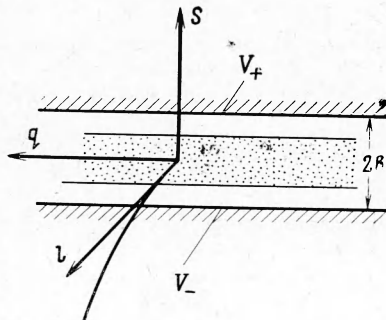
$$- B'' - 1/4 f^2 k n_0) + [(r^2 - f^2) \ln r - 2f^2 \ln (r / f) \ln f] (1/2 k^2 B -$$

$$- B'') - 1/6 (2r^4 - 3f^2 r^2 + f^2 r^{-2}) [(n_3 + 5/8 k n_0) \cos 2\theta + (n_4 +$$

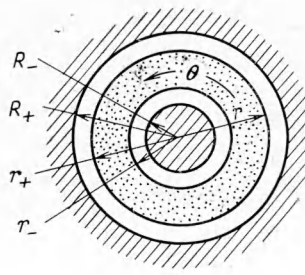
$$+ 5/8 k n_2) \sin 2\theta] - 1/8 k f^2 (1 - 1/2 r^2 f^{-2} - 1/2 f^2 r^{-2}) [(f^2 n_0 + 2kB) \cos 2\theta + f^2 n_2 \sin 2\theta] \}$$

$$n_0 \equiv n_1 + 3/2 k n, \quad B \equiv 1/2 r_*^2 j_* / v, \quad W \equiv 1/2 B (1 - \ln f^2), \quad f \equiv r_* \delta \quad (2.25)$$

Решение (2.23), (2.25) имеет точность параксиального приближения  $\varepsilon^3$  в трубке более широкой, чем пучок, в  $\varepsilon^{-0.4}$  раза, так как в (2.25) учтено дополнительно два члена в разложении по  $\varepsilon$ .



Фиг. 4



Фиг. 5

**3. Пульсации пучка в узкой полости.** Рассмотрим пульсации пучка между двумя электродами (фиг. 4) в двух случаях: плоском ( $l, s$ ) и цилиндрическом ( $l, r$ ), для которых уравнения (1.13) — (1.15) принимают вид

$$s, \tau\tau + \Omega^2 s + \Omega P = -ns + J/v - Q \equiv \psi_s, \quad \rho v = (s, J)^{-1} \quad (3.1)$$

$$r, \tau\tau + \frac{1}{4} \Omega^2 r - P^2 r^{-3} = (J/v - Q) (2\pi r)^{-1} - \frac{1}{2} nr \equiv \psi_r \quad (3.2)$$

$$r^2 \equiv s^2 + q^2, \quad P = P(J), \quad r = r(\tau, J), \quad 2\pi \rho v r = (r, J)^{-1} \quad (3.3)$$

Здесь  $J$  — функция тока,  $P$  — компонента обобщенного импульса по циклической координате  $q$  или же  $\theta$ . Известно много работ с расчетами симметричных пульсаций границы пучка в рамках уравнений параксиальной оптики [8], которые отличаются от (3.1), (3.2) помимо определения  $\Omega$ ,  $n$  отсутствием члена  $Q$ . Функция  $Q$  появляется из-за несимметрии плоского пучка (3.1) или же из-за наличия центрального электрода (стержня) в осесимметричном случае (фиг. 5) и имеет смысл погонной плотности заряда, наведенной пучком на электродах. При  $Q \neq 0$  уравнения (3.1), (3.2) являются интегро-дифференциальными и не допускают вырожденных решений, а плотность  $\rho$  существенно неоднородна поперек пучка.

3.1 Пусть два цилиндрических электрода расположены на расстояниях  $s = \pm b$ ,  $b \sim a_*$  от плоской осевой кривой ( $\kappa = 0$ ) и имеют постоянные потенциалы  $V_+$ ,  $V_-$

$$V_{\pm} = \epsilon^{-2} U \pm \epsilon^{-1} b E_s,$$

$$E_s = k v^2 - \Omega_q v, \quad (v \Omega_s = E_q = 0) \quad (3.4)$$

С точностью параксиального приближения для потенциалов в зазорах между пучком и электродами  $\varphi_{\pm}$  получается

$$\varphi_{\pm} = \epsilon^{-2} U + \epsilon^{-1} E_s s + \frac{1}{2} k E_s (s^2 - b^2) + B_{\pm} [s - (\pm b)] \quad (3.5)$$

Сшивание внешнего поля (3.5) с внутренним (1.9), (1.12) на границах пучка  $s = s_{\pm}$  дает

$$B_+ = J_* / v - Q, \quad Q = J_* (2vb)^{-1} (b - \langle s \rangle) = -B_-, \quad \langle s \rangle \equiv 1/J_* \int^* s dJ$$

Здесь  $J_*$  — полный ток пучка,  $\langle s \rangle$  — центр тяжести пучка. Для  $\langle s \rangle$  из (3.1) следует:

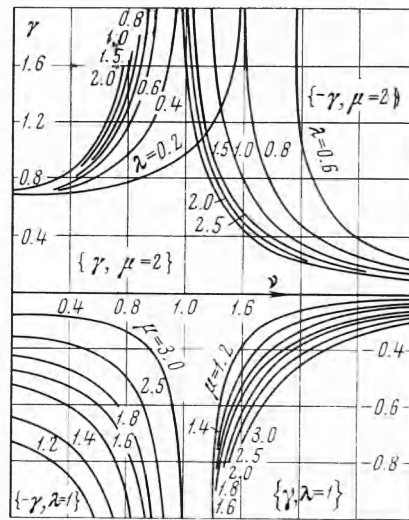
$$\langle \ddot{s} \rangle + \omega^2 \langle s \rangle = -\Omega \langle P \rangle, \quad \omega^2 \equiv \Omega^2 + n - J_* (2vb)^{-1}$$

Пусть  $\omega$ ,  $\Omega$ ,  $v$  — константы. Тогда из (3.1) следует:

$$s = \langle s \rangle + A(J) \cos \omega_2 \tau + B(J) \sin \omega_2 \tau, \quad \omega_2 \equiv (\Omega^2 + n)^{1/2}$$

$$\langle s \rangle = -\Omega \langle P \rangle \omega^{-2} + a_* \sin \omega \tau + b_* \cos \omega \tau$$

Видно, что к симметричным пульсациям с частотой  $\omega_2$  добавляется колебание центра пучка со сдвинутой частотой  $\omega$ . Условие  $\omega = 0$  определяет предельный ток пучка  $2vb (\Omega^2 + n)$ , при превышении которого колебания центра становятся аperiодическими.



Фиг. 6

3.2 Для осесимметричного пучка с прямолинейной осью плотность заряда на стержне определяется так:

$$2\gamma Q = -4\pi u + 2\gamma J_* / v - \frac{1}{v} \int_0^* \ln(r/R_-)^2 dJ, \quad \gamma \equiv \ln R_+/R_- \quad (3.6)$$

Здесь  $u$  — разность потенциалов между электродами,  $R_+, R_-$  — радиусы электродов (фиг. 5). Пусть  $u, v, \Omega$  постоянны,  $n = 0$ . В таких условиях интегро-дифференциальное уравнение (3.2), (3.6) имеет точность  $\varepsilon_*^2$ . Решение удается найти для отклонений порядка  $\varepsilon_*$  от равновесного состояния (3.7)

$$r = R(J) + \frac{\varepsilon f(\tau)}{R}, \quad 2\pi v \left( \frac{\Omega^2 R^2}{4} - \frac{P^2}{R^2} \right) = J - J_* + \frac{2\pi u v}{\gamma} + \frac{1}{\gamma} \int_0^* \ln \frac{R}{R_-} dJ$$

$$f_{,\tau\tau} + \omega_0^2 f = (2\pi \gamma v)^{-1} \int_0^* f R^{-2} dJ, \quad \omega_0^2 = 1/2 \Omega^2 + 2P^2 R^{-4} \quad (3.8)$$

Уравнение (3.8) описывает колебания  $f$  с частотой  $\omega_0$ , на которые накладываются колебания со сдвинутой частотой  $\omega$

$$\frac{1}{\omega_0^2 - \omega^2} (c_* \cos \omega \tau + b_* \sin \omega \tau), \quad \int_0^{J_*} \frac{dJ}{R^2 (\omega_0^2 - \omega^2)} = 2\pi \gamma v \quad (3.9)$$

Для решения уравнения (3.7), (3.9) в случае  $P = P_* = \text{const}$  приводятся графики на фиг. 6, где показаны семейства кривых  $\gamma(v, \mu, \lambda)$  для  $\mu = 2$  и  $\lambda = 1$

$$\gamma = 1/4 v^2 (1 - v^2)^{-1} \{ \ln [\mu^4 (1 - v^2) \lambda + 1] - \ln [(1 - v^2) \lambda + 1] \} + \ln \mu$$

$$\mu \equiv r_+ / r_-, \quad \lambda \equiv \Omega^2 r_-^4 / 4P_*, \quad v \equiv 2\omega^2 \Omega^{-2}$$

Не смотря на вид решения, в задаче остается существенная нелинейность, связанная с зависимостью амплитуд колебаний от  $J$  через частоту  $\omega_0$  и начальные условия. Эта нелинейность приводит к пересечению электронных траекторий в момент  $f_{,J} = 0$ , которым определяется граница применимости решения.

*Примечание 1.* Интересно отметить, что параксиальное уравнение для пучка симметричного относительно прямолинейной оси с существенной нестационарностью осевой скорости и магнитного поля [ $v = v(t, l)$ ,  $\Omega = \Omega(t, l)$ ] имеет вид (3.2) с заменой  $J/v$  на  $J/l_{,\lambda}$ . При этом

$$n \equiv U_{,ll}, \quad U = U(t, l), \quad \lambda_{,t} = -v\lambda_{,l}, \quad 2\pi r p = (r_{,J} l_{,\lambda})^{-1}$$

В отличие от стационарного пучка параксиальное семейство траекторий здесь существенно зависит от интеграла движения  $\lambda$  электрона с осевой скоростью  $v$ :  $r = r(t, \lambda, J)$ . В частности имеют место и вырожденные решения вида (2.1)–(2.4), где  $\alpha, \beta, \mu, v$  зависят уже от  $t, \lambda$ , а точка означает частную производную по  $t$ . Попытка построить параксиальное уравнение для нестационарного пучка с криволинейной осью наталкивается на необходимость более общего подхода, учитывающего нестационарность условий на оси и нестационарность самой оси.

*Примечание 2.* Можно показать, что вырожденные решения удовлетворяют условиям эмиссии с нулевой скоростью и на криволинейных катодах.

Пользуюсь случаем поблагодарить А. Н. Иевлеву за помощь.

Поступила 19 III 1968

#### ЛИТЕРАТУРА

- Гринберг Г. А. Избранные вопросы математической теории электрических и магнитных явлений. Изд-во АН СССР, 1948, гл. 24.
- Овчаров В. Т. Уравнения электронной оптики для плоскосимметричных и осесимметричных пучков с большой плотностью тока. Радиотехника и электроника, 1962, т. 7, № 8, стр. 1367.
- Фиников С. П. Курс дифференциальной геометрии. М., Гостехиздат, 1952.
- Черны й Г. Г. Течение газа с большой сверхзвуковой скоростью. М., Физматгиз, 1959.
- Левин В. А. Движение заряженного газа, заполняющего полость с сечением в виде произвольного эллипса. ПМТФ, 1967, № 2, стр. 122.
- Meltzer В. Single Component Stationary Electron Flow under Space-Charge Conditions. J. Electronics, 1956, vol. 2, No. 2, p. 118.
- Palmer J. L. Laminar Flow in Magnetically-Focused Cylindrical Electron Beams. IRE Trans. Electron Devices, 1959, ED-6, No. 3, p. 262.
- Пирс Дж. Р. Теория и расчет электронных пучков. М., «Советское радио», 1956